

فرآیندهای نوین در مهندسی مواد

ma.iaumajlesi.ac.ir

شبیه‌سازی المان محدود اثر جریان پالس دوم بر توزیع دما و اندازه دکمه جوش در جوشکاری مقاومتی نقطه‌ای فولاد TRIP1100

مقاله پژوهشی

حمید اشرفی^{۱*}، ایمان حاجیان نیا^۲

۱- استادیار، دانشکده مهندسی شیمی و مواد، دانشگاه صنعتی شهرود، شهرود، ایران.

۲- دکترای مهندسی مواد، گروه مهندسی مواد و متالورژی، دانشگاه فنی و حرفه‌ای، تهران، ایران.

hashrafi@shahroodut.ac.ir*

اطلاعات مقاله

دریافت: ۱۴۰۱/۰۵/۱۳

پذیرش: ۱۴۰۱/۰۹/۰۴

کلید واژگان:

جوشکاری مقاومتی نقطه‌ای

فولاد TRIP

شبیه‌سازی

قطر دکمه جوش

چکیده
در این پژوهش به شبیه‌سازی اثر جریان پالس دوم جوشکاری بر توزیع دمایی و اندازه دکمه جوش در جوشکاری مقاومتی نقطه‌ای فولاد استحکام بالای TRIP1100 به روش المان محدود پرداخته شد. در ادامه، اثر جریان پالس دوم بر اندازه و ریزاساختار دکمه جوش و همچنین خواص مکانیکی جوش‌های مقاومتی نقطه‌ای فولاد ذکر شده به صورت تجربی مورد بررسی قرار گرفت. توزیع دمایی، اندازه دکمه جوش و سیکل‌های گرمایش و سرمایش آن حین جوشکاری مقاومتی نقطه‌ای توسط شبیه‌سازی پیش‌بینی شدند. با توجه به سیکل‌های دمایی حاصل از شبیه‌سازی و نمودار استحاله در سرد شدن پیوسته فولاد، ریزاساختار دکمه جوش در تمام جریان‌های جوشکاری به صورت تمام مارتزیتی پیش‌بینی شد. نتایج شبیه‌سازی مطابقت خوبی را با نتایج تجربی از خود نشان داد. مشاهده شد که با افزایش جریان پالس دوم، قطر دکمه جوش به شکل لگاریتمی افزایش می‌یابد. همچنین، ریزاساختار دکمه جوش در تمام نمونه‌ها به صورت تمام مارتزیتی بود. ارزیابی خواص مکانیکی نمونه‌های جوشکاری شده توسط آزمون کشش برشی نشان داد که بیشینه نیرو در این آزمون با افزایش قطر دکمه جوش افزایش می‌یابد. با این وجود، انرژی شکست با افزایش قطر دکمه جوش‌ها کاهش یافت.

Finite Element Simulation of the Effect of the Second Pulse Current on Temperature Distribution and Nugget Size in Resistance Spot Welding of TRIP1100 Steel

Hamid Ashrafi^{۱*}, Iman Hajiannia^۲

۱- Assistant Professor, Faculty of Chemical and Materials Engineering, Shahrood University of Technology, Shahrood, Iran.

۲- PhD in Materials Engineering, Department of Materials Science and Engineering, Technical and Vocational University (TVU), Tehran, Iran.

* hashrafi@shahroodut.ac.ir

Article Information

Original Research Paper

Dor:

۲۰۲۱۰۱۱۲۴۲۲۳۲۲۶۱۴۰۲۱۷۲۰۱

Keywords:

Resistant Spot Welding

TRIP Steel

Simulation

Weld Nugget Diameter

Abstract

In this study, simulation of the effect of the second pulse current on temperature distribution and nugget size of TRIP1100 steel during resistant spot welding was performed by finite element method. Then, the effect of the second pulse current on the weld nugget size, weld nugget microstructure and mechanical properties of the resistant spot welds of the above-mentioned steel was experimentally investigated. Temperature distribution, weld nugget dimensions and heating and cooling cycles during resistant spot welding were predicted by simulation. Based on the simulated thermal cycles and continuous cooling transformation diagram of the TRIP1100 steel, a fully martensitic microstructure was predicted for the weld nugget in all currents. A good agreement was obtained between the simulated and experimental results. It was observed that the nugget diameter logarithmically increases with increasing the second pulse current. Furthermore, the microstructure of weld nugget in all samples was fully martensitic. Assessment of the mechanical properties of the welded samples by shear tension test demonstrated that the maximum load increases with increasing the weld nugget diameter. Nevertheless, the fracture energy decreased with increasing the nugget diameter.

برای ارجاع به این مقاله از عبارت ذیل استفاده نمایید:

Please cite this article using:
Hamid Ashrafi, Iman Hajiannia, Finite Element Simulation of the Effect of the Second Pulse Current on Temperature Distribution and Nugget Size in Resistance Spot Welding of TRIP1100 Steel, New Process in Material Engineering, ۲۰۲۲, ۱۷(۲), ۶۷-۷۸.

رفتار کششی برشی بهبود یافته است. سجادی نیکو و همکاران [۹] اثر سه نوع مختلف عملیات حرارتی پس از جوشکاری را بر جوش‌های مقاومتی نقطه‌ای فولاد TRIP۷۰۰ مورد بررسی قرار دادند. نتایج آن‌ها نشان داد که مطابق با سطح پالس اعمالی، خواص مکانیکی جوش توسط مکانیزم‌هایی از قبیل کاهش سختی در منطقه ذوب در اثر تمپر شدن مارتنتزیت تأثیر می‌پذیرد. افتخاری میلانی و همکاران [۱۰] ریزساختار جوش‌های مقاومتی نقطه‌ای تک پالس و دوپالس فولاد TRIP۹۸۰ را مورد بررسی قرار دادند. نتایج آنان نشان داد که در پالس دوم و در جریان کمتر از پالس اول، اندازه دانه‌های آستنیت اولیه کوچک‌ترین مقدار را دارا هستند. علاوه بر این، اندازه دانه‌های آستنیت اولیه تأثیر قابل توجهی بر خواص مکانیکی ساختار مارتنتزیت لایه‌ای داشت.

ایجاد گرما با عبور جریان جوشکاری از قطعات کار حین جوشکاری مقاومتی نقطه‌ای صورت می‌گیرد که این گرما با مقاومت قطعه کار، زمان و مجدور جریان عبوری رابطه مستقیم دارد [۱۱]. به دلیل زمان بسیار کوتاه جوشکاری، جریان جوشکاری اغلب بهمنظور ایجاد حرارت کافی در سطح کیلوآمپر انتخاب می‌شود. جریان جوشکاری عموماً به عنوان فاکتوری کلیدی در تعیین کیفیت جوش در نظر گرفته می‌شود. اسلاتلار و همکاران^۵ [۱۲] مشاهده کردند که جریان جوشکاری تأثیر قابل توجهی بر رفتار شکست ورق‌های فولاد گالوانیزه کروماته شده دارد. جریان بالاتر همیشه انتخاب بهتری نبود. پورانوری و مرعشی [۱۳] نشان دادند که اندازه منطقه ذوب با افزایش جریان جوشکاری برای نقطه‌جوش‌های مقاومتی فولاد دوفازی DP۹۸۰ افزایش می‌یابد. حالت شکست از حالت فصل مشترکی به کندگی تبدیل شد و به طور هم‌زمان تمپر شدن مارتنتزیت نیز افزایش یافت.

اگرچه بررسی‌های تجربی اطلاعات کاربردی مفیدی را فراهم می‌نمایند، اما پژوهش‌های تجربی زمان بر بوده و نیازمند صرف هزینه‌های زیادی هستند. علاوه بر این، تکنیک‌های انجام آزمون نیز با توجه به محدوده پارامترهای

۱- مقدمه

جوشکاری مقاومتی نقطه‌ای به دلیل سهولت اتوماتیک شدن فرایند و راندمان بالای انرژی به طور گسترده در صنایع اتومبیل‌سازی و هوایی جهت ساخت بدنه‌های سبک و مستحکم مورد استفاده قرار می‌گیرد [۱]. صنایع اتومبیل‌سازی در حال حاضر بر تولید خودروهای سبک وزن و اقتصادی همراه با اینمی بالا تمرکز کرده‌اند [۲]. در سال‌های اخیر فولادهای پیشرفته استحکام بالا مانند فولادهای دوفازی و فولادهای TRIP^۱ به عنوان راه حل جدیدی جهت کاهش مصرف سوخت، افزایش اینمی خودرو و تولید خودروهایی اقتصادی مطرح شده‌اند [۳]. در بین این فولادهای، فولادهای TRIP ترکیب فوق العاده‌ای از استحکام و انعطاف‌پذیری را فراهم می‌کنند. ریزساختار این فولادها عمدتاً شامل فریت، بینیت، مارتنتزیت و مقداری آستنیت باقیمانده است. این آستنیت باقیمانده حین تغییر شکل به مارتنتزیت تبدیل شده که سبب جذب انرژی بالا توسط این فولادها در حین تصادفات می‌شود [۴-۵].

با وجود نیاز صنعت خودرو به فولادهای پیشرفته استحکام بالا، جوش‌پذیری این فولادها هنوز به اندازه فولادهای متداول شناخته شده نیست. به همین دلیل در دهه گذشته تحقیقات زیادی در زمینه جوش‌پذیری و عملکرد مکانیکی جوش‌های مقاومتی نقطه‌ای فولادهای پیشرفته استحکام بالا انجام شده است. خان و همکاران^۶ [۶] نشان دادند که استحکام کششی جوش‌های نقطه‌ای فولادهای پیشرفته استحکام بالا بیشتر از فولادهای استحکام بالای متداول است. ژانگ و همکاران^۷ [۷] نرم شدن منطقه متأثر از حرارت را در جوش‌های مقاومتی نقطه‌ای غیرمشابه فولادهای دوفازی DP۶۰۰ و DP۷۸۰ شناسایی کرده و مشاهده کردند که شکست ابتدا از سمت فولاد DP۷۸۰ آغاز می‌شود. در سال‌های اخیر مطالعاتی در زمینه جوشکاری مقاومتی پالسی و عملیات حرارتی پس از جوشکاری فولادهای TRIP نیز صورت گرفته است. به طور مثال، بالتازار هرناندز و همکاران^۸ [۸] جوشکاری مقاومتی نقطه‌ای با دو پالس جریان را بر روی ورق فولاد TRIP۸۰۰ اعمال کردند. نتایج آن‌ها نشان داد که

۲- مواد و روش تحقیق

در این پژوهش از یک ورق فولاد TRIP1100 با ضخامت ۱ میلی‌متر و ترکیب شیمیابی ارائه شده در جدول (۱) استفاده شد. جهت تعیین دماهای استحاله این فولاد و همچنین رسم نمودار استحاله در سرد شدن پیوسته، نرمافزار JmatPro Mورد استفاده قرار گرفت. نمونه‌هایی از ورق فولاد اولیه با استفاده از گیوتین برقی تهیه شد و با پارامترهای مشخص شده در جدول (۲) تحت جوشکاری مقاومتی نقطه‌ای پالسی با دو پالس جریان قرار گرفت. قبل از جوشکاری، ورق‌ها به صورت مکانیکی اکسیدزدائی شده و با استفاده از محلول استون چربی‌زدایی شدند تا از بروز عیب در جوش توسط آلدگی‌های سطحی جلوگیری شود. جوشکاری مقاومتی نقطه‌ای با الکترود مسی آبگرد به قطر ۶ میلی‌متر و زاویه پخت ۴۵ درجه انجام شد.

جدول (۱): ترکیب شیمیابی فولاد مورد استفاده در این پژوهش (درصد وزنی).

درصد وزنی	عنصر
۰/۱۸	کربن
۲/۴۵	منگنز
۱/۱	سیلسیوم
۰/۰۳۶	گوگرد
۰/۰۴۸	فسفر
۰/۰۵۸	کروم
۰/۰۲	وانادیوم
۰/۰۴	نیکل
۰/۰۸	مس
۰/۰۱	آلومینیوم
باقیه	آهن

جدول (۲): پارامترهای جوشکاری مقاومتی نقطه‌ای.

نیروی جوشکاری (کیلونیوتن)	
۲/۵	زمان فشار (سیکل)
۱۱	زمان تگهداری (سیکل)
۱۱	جریان پالس اول (کیلوآمپر)
۱۰	زمان جوشکاری (سیکل)
۱۱	جریان پالس دوم (کیلوآمپر)
۱۲.۹، ۶	

پس از جوشکاری، ماکروساختار و ریزساختار دکمه جوش‌های ایجاد شده مورد بررسی قرار گرفت. بدین منظور نمونه‌ها به شکل طولی از مرکز دکمه جوش مقطع زده شده، مانت شده و سپس تا سنیاده ۲۵۰۰ سنیاده‌زنی شدند. در ادامه

قابل دستیابی در هر تجهیز دارای محدودیت هستند. شبیه‌سازی عددی روشنی جایگزین برای دستیابی به درک بهتر از مکانیزم‌های جوشکاری مقاومتی نقطه‌ای است. یک شبیه‌سازی عددی مؤثر می‌تواند علاوه بر صرفه‌جویی در زمان و هزینه، به منظور بررسی اثر پارامترهای مختلف در جوشکاری مقاومتی نقطه‌ای بدون هیچ محدودیتی مورد استفاده قرار گیرد [۱۴]. در سال‌های اخیر مطالعاتی در زمینه شبیه‌سازی عددی تولید حرارت و تشکیل دکمه جوش در جوشکاری مقاومتی نقطه‌ای صورت گرفته است. ژانگ و همکاران [۱۵] توزیع دمایی حین جوشکاری مقاومتی نقطه‌ای آلومینیم به فولاد استحکام بالا را شبیه‌سازی کرده و با استفاده از نتایج آن هندسه الکترود را بهینه کردند. رضایی آشتیانی و زراندوز [۱۶] اثر شدت جریان، زمان جوشکاری و قطر نوک الکترود بر توزیع دما و اندازه دکمه جوش را در جوشکاری مقاومتی نقطه‌ای اینکوکنل ۶۲۵ مورد بررسی قرار دادند. وان و همکاران [۱۷] نیز اثر جریان جوشکاری بر اندازه دکمه جوش را در جوشکاری مقاومتی نقطه‌ای فولاد DP600 با استفاده از روش المان محدود مورد بررسی قرار دادند.

مطالعات انجام شده در زمینه شبیه‌سازی جوشکاری مقاومتی نقطه‌ای بر جوش‌های ایجاد شده به شکل تک پالس متبرکز بوده‌اند. با توجه به تمایل محققان به انجام جوشکاری مقاومتی نقطه‌ای با دوپالس جریان بر روی فولادهای مورد استفاده در صنعت خودرو به منظور بهبود خواص جوش حاصل، در این پژوهش، اثر جریان پالس دوم بر توزیع دمایی، هندسه دکمه جوش و سیکل حرارتی حین جوشکاری مقاومتی نقطه‌ای پالسی فولاد TRIP1100 به کمک شبیه‌سازی حرارتی بررسی شد و ریزساختار دکمه جوش بر اساس نتایج به دست آمده پیش‌بینی شد. شبیه‌سازی حرارتی بر اساس معادله فوریه و به روش المان محدود انجام گرفت. در ادامه، اثر جریان پالس دوم بر هندسه دکمه جوش، ریزساختار و رفتار مکانیکی به شکل تجربی مورد بررسی قرار گرفت و نتایج به دست آمده با نتایج حاصل از شبیه‌سازی مورد مقایسه قرار گرفت.

ژول در قطعه ایجاد می‌شود، به صورت غیریکنواخت در قطعه در حال جوش توزیع می‌شود که منجر به توزیع دمای غیریکنواخت می‌شود. این توزیع دمایی را می‌توان با حل معادله دیفرانسیل جزئی زیر با شرایط مرزی مناسب به دست آورد [۱۹]:

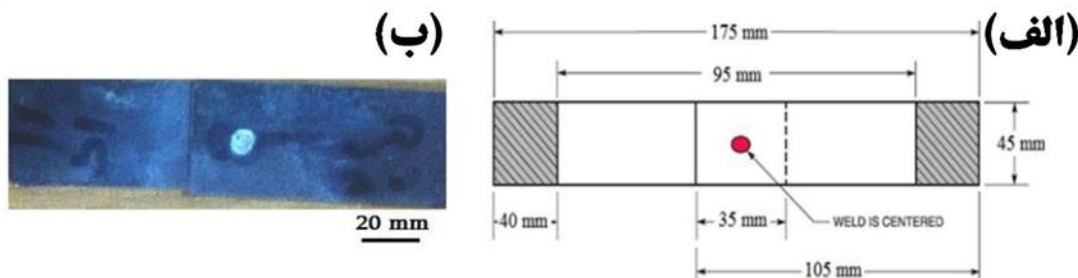
$$\nabla(k \cdot \nabla T) + q = \rho C \frac{\partial U}{\partial t} \quad (1)$$

در این رابطه U انرژی داخلی، t زمان، ρ چگالی (۷۸۰۰ کیلوگرم بر مترمکعب برای قطعات و ۸۹۰۰ کیلوگرم بر مترمکعب برای الکترودها)، C گرمای ویژه و k ضریب انتقال حرارت هستند. گرمای ویژه و ضریب انتقال حرارت به دما وابسته بوده و در این پژوهش از مقادیر ارائه شده در مرجع [۲۰] در معادلات استفاده شد. Q سرعت تولید گرما بر واحد حجم در فصل مشترک ورق - ورق است که طبق رابطه زیر محاسبه می‌شود:

نمونه‌ها توسط پودر آلومینیم ۳۰۰ نانومتری پولیش شده و توسط محلول نایتال ۲٪ حکاکی شدند. ماکروساختار نمونه‌ها توسط استریومیکروسکوپ Olympus و ریزاساختار آن‌ها توسط میکروسکوپ الکترونی روبشی^۶ (SEM) مورد بررسی قرار گرفت. خواص مکانیکی جوش‌های ایجاد شده توسط AWS D8.۹ آزمون کشش برشی^۷ (TS) بر اساس استاندارد ۱۸۰ مورد ارزیابی قرار گرفت. شکل (۱) ابعاد نمونه‌های آزمون مکانیکی را نشان می‌دهد.

۱-۲- شبیه‌سازی المان محدود

اولین گام در شبیه‌سازی حرارتی جوشکاری مقاومتی نقطه‌ای به منظور محاسبه توزیع دما در گستره قطعه و یا توزیع دما در هر لحظه در قطعه، انتخاب درست نوع معادله حرارت است. اگر توزیع دما در گستره قطعه مدنظر باشد حل حالت پایدار معادله حرارت انتخاب می‌شود و در صورتی که تغییرات دما در واحد زمان مدنظر باشد، حل حالت گذرا انتخاب خواهد شد. گرمایی که حین جوشکاری مقاومتی نقطه‌ای طبق رابطه



شکل (۱): (الف) و (ب) ابعاد و هندسه نمونه‌های آزمون کشش برشی جوش مقاومتی نقطه‌ای.

کلوین در کل قطعه در نظر گرفته شد. به دلیل اینکه سطح قطعه در تماس با هواست و انتقال حرارت از طریق همرفت صورت می‌گیرد، شرط مرزی دیگر شرط همرفت است که توسط رابطه زیر بیان می‌شود [۲۱]:

$$k \frac{\partial T}{\partial n} = h(T - T_a) \quad (4)$$

در این رابطه h ضریب انتقال حرارت، T دمای سطح قطعه و T_a دمای محیط (۳۰۰ کلوین) است. ضریب انتقال حرارت

$$q = RI^2 \quad (2)$$

که در آن R مقاومت الکتریکی و I شدت جریان می‌باشد. یکی از شرایط مرزی مورد نیاز برای شبیه‌سازی حرارتی، دمای اولیه قطعه می‌باشد که به صورت زیر بیان می‌شود:

$$T(x, y, z, t=0) = T_0 \quad (3)$$

در رابطه بالا T دمای هر نقطه با مختصات (x, y, z) در زمان t و T_0 دمای اولیه قطعه است که در این پژوهش برابر ۳۰۰

شده و در برخی مواقع منجر به واگرایی مدل می‌شوند. مشبندی بهینه را می‌توان ریزترین مشبندی در نظر گرفت که دارای حداقل دقت مورد نیاز و کمترین زمان حل باشد. در این پژوهش ابعاد دکمه جوش به دست آمده به صورت تجربی به عنوان معیار حساسیت مشبندی در نظر گرفته شد. برای مشبندی ابتدا از المان‌های درشت استفاده شد که زمان حل برای آن ۱۲ دقیقه بود؛ اما بررسی نتایج حاصل از شبیه‌سازی نشان داد که نتایج از دقت کافی برخوردار نیستند. به منظور افزایش دقت، شبیه‌سازی با استفاده از المان‌های ریز نیز انجام شد که زمان محاسبات را به ۱۰۰ دقیقه افزایش داد، اما منجر به افزایش قابل توجه دقت محاسبات شد. در نهایت به منظور دستیابی به دقت قابل قبول، همگرایی مسئله و بهینه کردن زمان محاسبات، مطابق شکل (۲) در ورق‌ها که توزیع حرارت در آن‌ها مهم‌تر است از المان‌های ریز و در قسمت‌های دیگر از المان‌های درشت‌تر استفاده شد. نرخ رشد المان نیز برابر ۱/۱ در نظر گرفته شد.

۳- نتایج و بحث

۳-۱- محاسبات ترمودینامیکی

شکل (۳) نمودار درصد وزنی تعادلی فازهای به دست آمده از محاسبات ترمودینامیکی توسط نرم‌افزار JmatPro را بر حسب دما برای فولاد TRIP1100 نشان می‌دهد. طبق این نمودار، ساختار فولاد تا دمای حدود ۷۰۰ درجه سانتی‌گراد از فریت و سمنتیت تشکیل شده است. در دمای ۷۰۰ درجه سانتی‌گراد (دمای A₁، فولاد وارد ناحیه دوفازی فریت - آستنیت می‌شود و این ناحیه تا دمای ۸۲۰ درجه سانتی‌گراد فولاد وارد (A₃ ادامه می‌یابد. در دمای ۸۲۰ درجه سانتی‌گراد فولاد وارد ناحیه تک‌فاز آستنیت می‌شود و آستنیت تا دمای ۱۴۲۵ درجه سانتی‌گراد (دمای سالیدوس) پایدار است. در این دما (سالیدوس) ذوب فولاد آغاز شده و با افزایش دما به ۱۴۹۰ درجه سانتی‌گراد (دمای لیکوئیدوس)، ذوب فولاد کامل می‌شود.

بر حسب دما برای فولادهای کربنی طبق رابطه زیر محاسبه می‌شود [۲۲]:

$$(4)$$

$$h = \begin{cases} 0.68T \times 10^{-8} \quad (W / mm^2) & 0 < T < 500^\circ C \\ (0.231T - 82.1) \times 10^6 \quad (W / mm^2) & T > 500^\circ C \end{cases}$$

علاوه بر انتقال حرارت به صورت هم‌رفته، انتقال حرارت از سطح فولاد به صورت تشعشعی نیز صورت می‌گیرد که این شرط مرزی نیز به صورت رابطه زیر نوشته می‌شود [۲۱]:

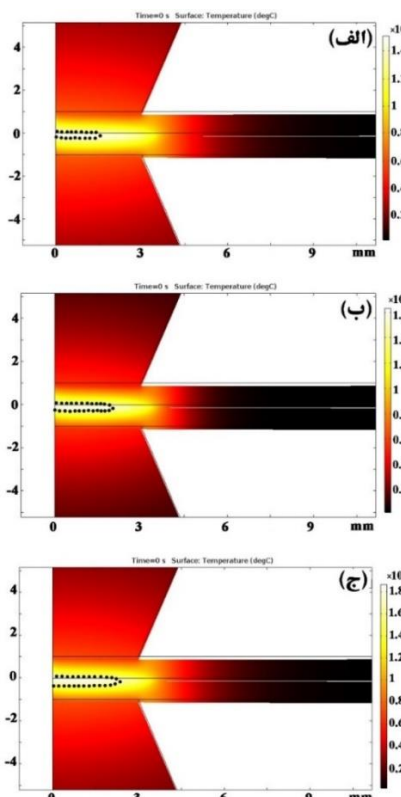
$$(5) \quad k \frac{\partial T}{\partial n} = \varepsilon B (T^4 - T_0^4)$$

در رابطه بالا T دمای سطح، T₀ دمای محیط (۳۰۰ کلوین)، ε ضریب تشعشع و B ضریب استفان - بولتزمن (۵/۶۷ × ۱۰^{-۴} Wm^{-۴}K^{-۴}) هستند. ضریب تشعشع برای فولادهای کربنی تابع دما بوده و طبق روابط زیر محاسبه می‌شود [۲۳]:

$$(6) \quad \begin{cases} T < 380^\circ C, & \varepsilon = 0.28 \\ 380^\circ C \leq T < 520^\circ C, & \varepsilon = 0.00304 - 0.888 \\ T \geq 520^\circ C, & \varepsilon = 0.69 \end{cases}$$

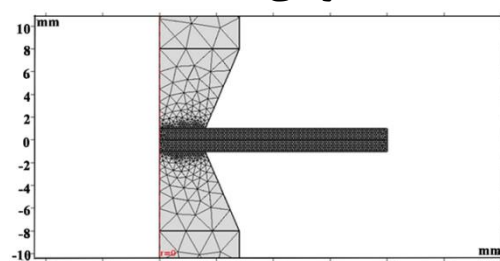
شبیه‌سازی به روش المان محدود و با استفاده از نرم‌افزار ANSYS15 انجام شد. جهت مدل‌سازی، از هندسه نشان داده شده در شکل (۲) استفاده شد. این هندسه در مختصات استوانه‌ای رسم گردید بدین صورت که فقط مقطعی از قطعات تحت جوشکاری شبیه‌سازی می‌شوند و با چرخاندن مقطع، هندسه مدل اصلی نمایان می‌گردد. مشبندی قطعات نیز به استفاده از المان‌های مثلثی PLANE67 صورت گرفت. در روش المان محدود نحوه مشبندی و اندازه المان‌ها تأثیر زیادی در همگرایی و دقت حل مسئله دارد. المان‌های درشت منتج به کاهش زمان حل و افزایش قابلیت همگرایی مدل می‌گردد ولی از طرف دیگر دقت حل مسئله را کاهش می‌دهند. المان‌های ریز نیز سبب طولانی شدن حل مسئله

ورودی جوشکاری سبب افزایش ابعاد دکمه جوش و منطقه متاثر از حرارت می‌شود؛ اما به دلیل زمان کوتاه جوشکاری و همچنین هدایت حرارتی بالای الکترود مسی، امکان انتقال حرارت قابل توجهی به سمت فلز پایه وجود ندارد؛ بنابراین، دمای نواحی دور از دکمه جوش تغییری نخواهد داشت. نکته دیگری که در پروفیل دمایی به دست آمده از شبیه‌سازی ملاحظه می‌شود این است که ایزوترم‌های دمایی شکل دکمه‌ای به خود می‌گیرند که این موضوع با نتایجی که قبل از در مورد جوش‌های مقاومتی نقطه‌ای مشاهده شده است تطابق دارد [۱۴]. علت ایجاد این شکل دکمه‌ای هندسه عبور جریان الکتریکی است که در نقاط گوشه‌ای الکترودهای مسی تمرکز بیشتر شده و اجازه دستری و شار بیشتر به نقاط زیرین را نمی‌دهد. این در حالی است که نقاط میانی جوش شار بهتری را عبور می‌دهند و درنتیجه منطقه ذوب بزرگ‌تری را نیز ایجاد می‌کنند. از این‌رو، شکل منطقه جوش دکمه‌ای می‌گردد.

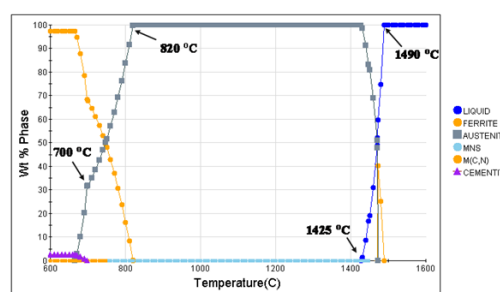


شکل (۴): توزیع دمایی به دست آمده از شبیه‌سازی در نمونه‌های جوشکاری شده با جریان پالس دوم (الف) ۶ کیلوآمپر، (ب) ۹ کیلوآمپر، (ج) ۱۲ کیلوآمپر. خط‌چین‌ها محدوده دکمه جوش را نشان می‌دهند.

۳-۲-۳- شبیه‌سازی حرارتی



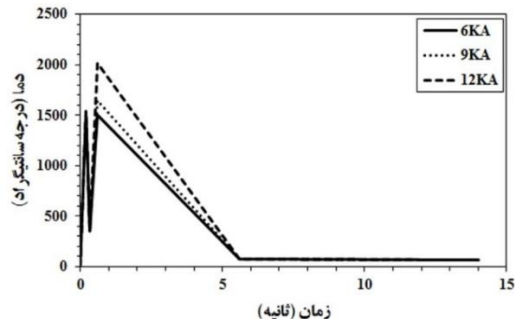
شکل (۲): هندسه مدل و مشیندی مورد استفاده.



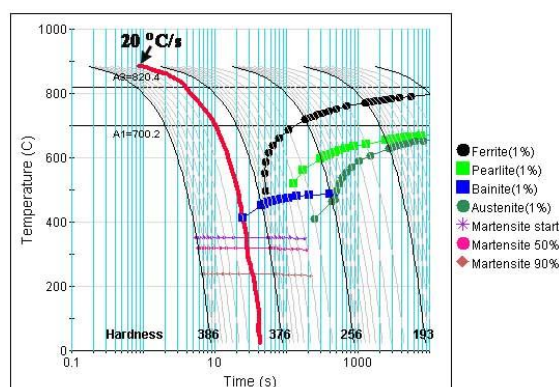
شکل (۳): درصد وزنی تعادلی فازها در فولاد TRIP1100 از دمای ۶۰۰ درجه سانتی گراد تا دمای ۱۶۰۰ درجه سانتی گراد.

شکل (۴) توزیع دمایی به دست آمده از شبیه‌سازی جوش مقاومتی را در مقطع عبوری از مرکز دکمه جوش برای نمونه‌های پالسی نشان می‌دهد. برای همه نمونه‌ها، همان‌طور که در مطالعات قبلی نیز مشاهده شده است [۱۵-۱۴] دما در فصل مشترک دو ورق بسیار بالاتر از دما در فصل مشترک الکترود مسی-ورق است. دلیل این موضوع این است که مقاومت تماسی بین ورق‌های فولاد TRIP1100 بسیار بیشتر از مقاومت تماسی بین الکترود مسی و ورق فولاد است. دمای ذوب فولاد TRIP1100 با توجه به نتایج ارائه شده در شکل (۳) برابر ۱۴۹۰ درجه سانتی گراد در نظر گرفته شد و بر اساس آن محدوده دکمه جوش با خط‌چین در پروفیل‌های دمایی مشخص شد. مشاهده می‌شود که با افزایش جریان پالس دوم جوشکاری، اندازه دکمه جوش و منطقه متاثر از حرارت افزایش می‌یابد، اما در دمای مناطق دورتر از دکمه جوش تغییری حاصل نمی‌شود. همچنین، همان‌طور که در نمودار شکل ۵ رسم شده است، حداکثر دمای دکمه جوش نیز با افزایش جریان پالس دوم جوشکاری به شکل خطی افزایش می‌یابد. طبق قانون ژول، با افزایش شدت جریان، حرارت ورودی جوشکاری افزایش می‌یابد. افزایش حرارت

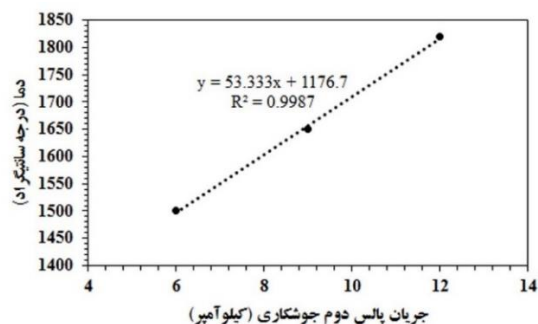
سانتی گراد بر ثانیه است که بسیار کمتر از نرخ سرد شدن به دست آمده در شبیه‌سازی نمونه‌های است؛ بنابراین انتظار می‌رود ساختاری تمام مارتزیتی در دکمه جوش همه نمونه‌ها حاصل شود.



شکل (۶): نمودارهای گرم و سرد شدن مرکز دکمه جوش در نمونه‌های مختلف.

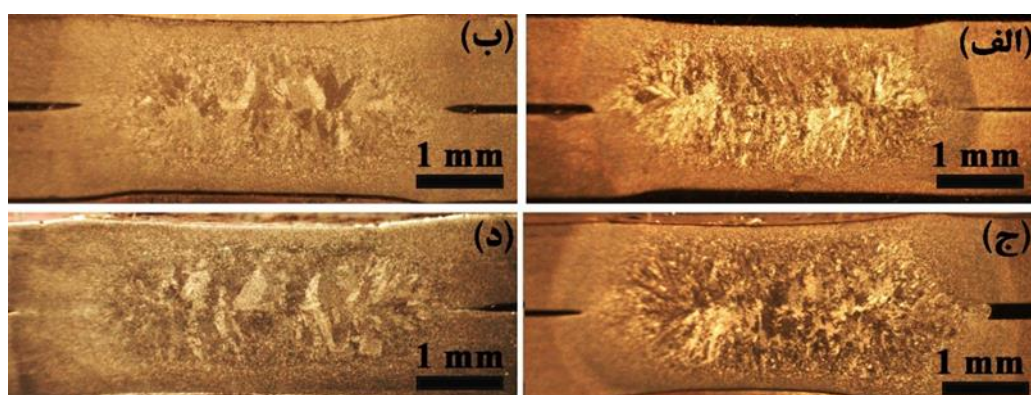


شکل (۷): نمودار استحاله در سرد شدن پیوسته فولاد TRIP1100.



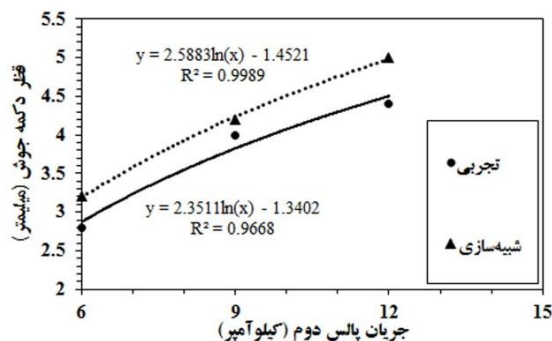
شکل (۵): حداقل دمای دکمه جوش بر حسب شدت جوشکاری.

سیکل گرم و سرد شدن مرکز دکمه جوش در نمونه‌های جوشکاری شده با دوپالس در شکل (۶) ارائه شده است. در این سیکل‌های دمایی، پیک اول مربوط به جریان پالس اول و پیک دوم مربوط به جریان پالس دوم است. مشاهده می‌شود که با افزایش جریان پالس دوم، نرخ سرد شدن جوش افزایش می‌یابد. همچنین، نرخ سرد شدن بسیار بالای برای هر سه نمونه مشاهده می‌شود (بیشتر از ۲۷۵ درجه سانتی گراد بر ثانیه). دلیل نرخ سرد شدن بسیار بالا در جوشکاری مقاومتی نقطه‌ای کوچک بودن سطح دکمه جوش در مقایسه با ابعاد کلی ورق است که سبب جذب سریع حرارت به اطراف و سرد شدن سریع دکمه جوش می‌شود. با توجه به ترکیب شیمیایی فولاد TRIP1100، نمودار استحاله در سرد شدن پیوسته این فولاد با استفاده از نرم‌افزار JmatPro رسم شد. با توجه به این نمودار (شکل ۷)، حداقل سرعت سرد شدن برای حصول ساختاری تمام مارتزیتی حدود ۲۰ درجه



شکل (۸): ماکروساختار جوش‌های مقاومتی نقطه‌ای فولاد TRIP1100، (الف) جوش تک پالس با جریان ۱۰ کیلوآمپر، (ب)، (ج) و (د) جوش دوپالسی با جریان پالس دوم به ترتیب ۶ کیلوآمپر، ۹ کیلوآمپر و ۱۲ کیلوآمپر.

بدان معنی است که قطر دکمه جوش در جریان‌های بالاتر تقریباً ثابت و مستقل از شدت جریان خواهد بود. ماریا و گایدن^۸ با بررسی جوشکاری مقاومتی نقطه‌ای تک پالس فولاد DP600 یافته‌ند که قطر دکمه جوش با افزایش جریان جوشکاری در اندازه‌ای کمی بیشتر از ۶ میلی‌متر پایدار می‌شود. نتایج مشابهی توسط ژانگ و همکاران^[۲۵] در مورد جوشکاری مقاومتی نقطه‌ای غیرمشابه ورق‌های فولاد دوفازی با ضخامت متفاوت نیز گزارش شده است.



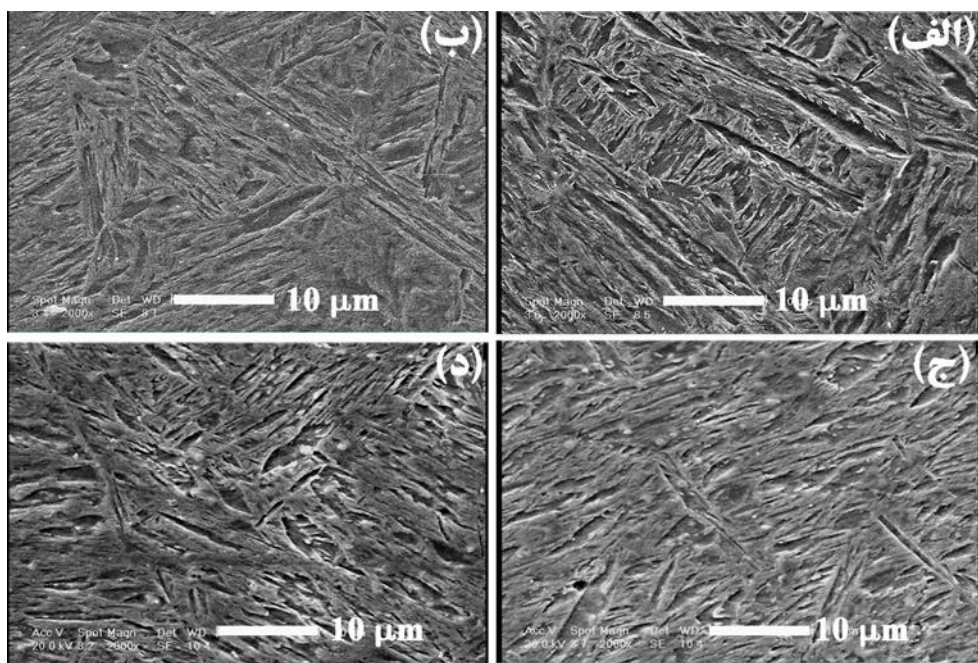
شکل (۹): قطر دکمه جوش بر حسب جریان پالس دوم جوشکاری.

۳-۴- بررسی ریزساختاری دکمه جوش
 شکل (۱۰) تصویر میکروسکوپ الکترونی رویشی از ریزساختار مرکز دکمه جوش در نمونه‌های مختلف را نشان می‌دهد. ملاحظه می‌شود که ریزساختار تمام نمونه‌ها کاملاً مارتزیتی است که با نتایج پیش‌بینی شده از شبیه‌سازی کاملاً همخوانی دارد. به دلیل سرعت سرد شدن بسیار بالا در جوشکاری مقاومتی نقطه‌ای، عمدتاً ساختارهای مارتزیتی در دکمه جوش فولادهای پیشرفته استحکام بالا مشاهده می‌شوند که منجر به سختی بسیار بالا در این ناحیه می‌شود [۲۶-۲۷]. به علت پایین بودن درصد کربن فولاد، مارتزیت تشکیل شده از نوع تیغه‌ای است. به دلیل منگتر نسبتاً بالای فولاد، این احتمال وجود دارد که بین لایه‌ها یا بسته‌های مارتزیتی، نواحی بسیار نازکی از آستینیت با قیمانده نیز وجود داشته باشد.

۳-۳- بررسی ماکروسکوپی نقطه‌جوش‌ها

شکل (۸) ماکروساختار مقطع جوش‌های ایجاد شده با پارامترهای مختلف را نشان می‌دهد. در همه نمونه‌ها ساختار ریختگی درشت با دانه‌های ستونی کشیده شده به موازات الکترودها دیده می‌شوند. به دلیل خنک شدن الکترودهای مسی با سیستم آبگرد و هدایت حرارتی بالای مس، انتقال حرارت در حین جوشکاری عمدتاً از طریق الکترودهای مسی صورت می‌گیرد. با توجه به اینکه دانه‌های ستونی حین انجام داده بیشترین گرادیان دمایی رشد می‌کنند، بنابراین دانه‌های ستونی ایجاد شده در جهت موازی با الکترودهای مسی کشیده می‌شوند. پالس اول جوشکاری سبب تشکیل دکمه جوش اولیه شده که در اثر پالس دوم ذوب و انجام مجدد رخ می‌دهد. دکمه جوش ثانویه می‌تواند کوچک‌تر یا بزرگ‌تر از دکمه جوش اولیه باشد. با توجه به ابعاد ناحیه درشت دانه، مشاهده می‌شود که در نمونه جوشکاری شده با جریان پالس دوم ۶ کیلوآمپر (شکل ۸-ب)، دکمه جوش ایجاد شده در پالس دوم کوچک‌تر از دکمه جوش پالس اول (شکل ۸-الف) است و سبب می‌شود بخشی از ساختار ستونی دکمه جوش پالس اول در اثر حرارت پالس دوم ریزتر شود. همچنین، مشاهده می‌شود که با افزایش جریان پالس دوم جوشکاری، قطر دکمه جوش افزایش می‌یابد.

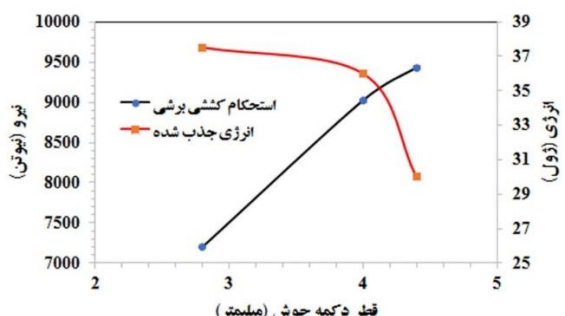
به منظور مقایسه نتایج حاصل از شبیه‌سازی حرارتی و نتایج تجربی، قطر دکمه جوش‌های به دست آمده اندازه‌گیری شد و نتایج حاصل همراه با نتایج حاصل از شبیه‌سازی در نمودار ارائه شده در شکل ۹ بر حسب جریان پالس دوم جوشکاری ترسیم شدند. تطابق خوبی بین نتایج حاصل از شبیه‌سازی و نتایج تجربی (اختلاف کمتر از ۱۵ درصد) دیده می‌شود که نشان‌دهنده دقیق بالای شبیه‌سازی انجام شده در پیش‌بینی هندسه نقطه‌جوش است. علاوه بر این، مشاهده می‌شود که در محدوده جریان مورد بررسی، قطر دکمه جوش با افزایش جریان جوشکاری به شکل لگاریتمی افزایش می‌یابد. این



شکل (۱۰): ریزساختار مرکز دکمه جوش در نمونه‌های مختلف، (الف) جوش تک پالس با جریان ۱۰ کیلوآمپر، (ب)، (ج) و (د) جوش دوپالسی با جریان پالس دوم به ترتیب ۶ کیلوآمپر، ۹ کیلوآمپر و ۱۲ کیلوآمپر.

جدول (۳): خواص مکانیکی به دست آمده از آزمون‌های کشش برشی و کشش متقطع برای نمونه‌های مختلف

نمونه	استحکام کششی برشی (نیوتون)	انرژی شکست (ذول)
تک پالس ۱۰ کیلوآمپر	۷۵۵۰±۱۵	۱۶±۰/۵
دوپالس ۶ کیلوآمپر	۷۲۰۰±۱۵	۳۷/۵±۱
دوپالس ۹ کیلوآمپر	۹۰۲۰±۲۰	۳۶±۱
دوپالس ۱۲ کیلوآمپر	۹۴۳۰±۲۵	۳۰±۰/۸



شکل (۱۱): تغییرات استحکام کششی برشی و انرژی شکست بر حسب قطر دکمه جوش.

شکل (۱۱) همچنین نشان می‌دهد که با افزایش قطر دکمه جوش، انرژی شکست کاهش می‌یابد. در جوش مقاومتی نقطه‌ای، درز اتصال به عنوان یک شیار عمل کرده و می‌تواند شرایط تنش و کرنش سه بعدی را در دکمه جوش ایجاد

۳-۵-۳- ارزیابی رفتار مکانیکی

نتایج حاصل از آزمون کشش برشی برای نمونه‌های مختلف در جدول (۳) ارائه شده است. مشاهده می‌شود که بیشترین نیروی شکست در نمونه دوپالسی با جریان ۱۲ کیلوآمپر وجود دارد. همچنین، انرژی شکست در همه نمونه‌های دوپالسی بیشتر از نمونه تک پالس است. علاوه بر این با افزایش جریان پالس دوم، انرژی شکست کاهش می‌یابد. دلیل افزایش انرژی شکست در جوش‌های دوپالسی نسبت به جوش تک پالس می‌تواند به ریز شدن ساختار پالس اول در کناره‌های دکمه جوش در اثر پالس دوم مربوط باشد. به منظور بررسی دقیق‌تر تغییرات خواص مکانیکی نمونه‌های دوپالسی با قطر دکمه جوش، نمودار بیشینه نیروی شکست و انرژی شکست بر حسب قطر دکمه جوش در شکل (۱۱) رسم شده است. مشاهده می‌شود که با افزایش قطر دکمه جوش، بیشینه نیروی شکست به طور خطی افزایش می‌یابد. این افزایش به این دلیل است که با افزایش قطر دکمه جوش، مساحت سطح اتصال دو ورق در فصل مشترک افزایش یافته و استحکام اتصال و در نتیجه بیشینه نیروی شکست افزایش می‌یابد [۲۸].

- شدن. اندازه دکمه جوش به دست آمده از شبیه‌سازی و ریزساختار پیش‌بینی شده با نتایج تجربی مورد مقایسه قرار گرفتند. نتایج به دست آمده به شرح زیر بودند:
- قطر دکمه جوش با افزایش جریان پالس دوم جوشکاری به شکل لگاریتمی افزایش می‌یابد. همچنین، قطر دکمه جوش پیش‌بینی شده توسط شبیه‌سازی اختلاف کمی (کمتر از ۱۵٪) با مقادیر اندازه گیری شده به صورت تجربی داشت.
 - ریزساختار دکمه جوش در تمامی نمونه‌ها به شکل تمام مارتزیتی بود که با نتایج پیش‌بینی شده توسط شبیه‌سازی مطابقت داشت.
 - بیشترین نیروی شکست در آزمون کشش برشی با افزایش قطر دکمه جوش به طور خطی افزایش می‌یابد. همچنین، انرژی شکست با افزایش قطر دکمه جوش کاهش می‌یابد.

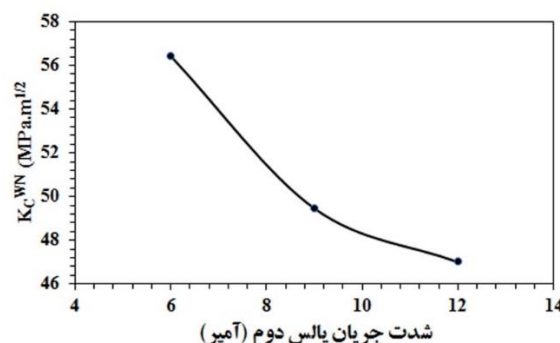
۵- مراجع

- [۱] T. Jagadeesha & T. J. S. Jothi, "Studies on the influence of process parameters on the aisi ۳۱۶L resistance spot-welded specimens", Int J Adv Manuf Technol, vol. ۹۳, pp. ۷۳-۸۸, ۲۰۱۷.
- [۲] M. Tamizi, M. Pouranvari & M. Movahedi, "Welding metallurgy of martensitic advanced high strength steels during resistance spot welding", Sci Technol Weld J, vol. ۲۲, pp. ۳۲۷-۳۳, ۲۰۱۷.
- [۳] H. Ashrafi, M. Shamanian, R. Emadi & M. A. Sarmadi, "Comparison of microstructure and tensile properties of dual phase steel welded using friction stir welding and gas tungsten arc welding", steel research int. vol. ۸۹, pp. ۱۷۰۰۴۲, ۲۰۱۸.
- [۴] S. S. Nayak, V. H. B. Hernandez, Y. Okita & Y. Zhou, "Microstructure-hardness relationship in the fusion zone of trip steel welds", Mater. Sci. Eng. A, vol. ۵۵۱, pp. ۷۳-۸۱, ۲۰۱۲.
- [۵] A. Kozłowska, A. Grajcar, K. Radwański, J. Opara, K. Matus & P. M. Nuckowski, "Microstructure and temperature-dependent mechanical behavior of hot-rolled TRIP-assisted microalloyed steel", Mater. Charact. vol. ۱۸۶, pp. ۱۱۱۸۰۴, ۲۰۲۲.

کند. در حین آزمون کشش برشی، بیشینه فاکتور تمرکز تنش معادل (K_{eq}^{TS}) در مجاورت دکمه جوش از رابطه زیر به دست می‌آید [۲۹]:

$$K_{eq}^{TS} = 0.694 \frac{P}{d \sqrt{f}} \quad (7)$$

در اینجا P و d به ترتیب بیشینه نیرو، ضخامت ورق و قطر دکمه جوش هستند. با در نظر گرفتن این نکته که K_{eq}^{TS} معادل با فاکتور تمرکز تنش بحرانی دکمه جوش (K_C^{WN}) است، مقدار (K_C^{WN}) می‌تواند از رابطه (۷) محاسبه شود که در واقع همان چقرومگی شکست دکمه جوش است که با نسبت بیشینه نیرو به قطر دکمه جوش رابطه مستقیم دارد. شکل (۱۲) نشان می‌دهد که با افزایش جریان پالس دوم، مقدار (K_C^{WN}) کاهش می‌یابد که این تغییرات با تغییرات انرژی شکست جوش نیز همخوانی دارد. این کاهش در مقدار (K_C^{WN}) به بیرون زدگی مذاب و اثرگذاری الکترود بر سطح دکمه جوش در اثر افزایش شدت جریان نسبت داده شده است [۳۰].



شکل (۱۲): تغییرات فاکتور تمرکز تنش بحرانی دکمه جوش (K_C^{WN}) بر حسب شدت جریان پالس دوم جوشکاری.

۴- نتیجه‌گیری

در این پژوهش، اثر جریان پالس دوم جوشکاری بر اندازه دکمه جوش، ریزساختار و رفتار مکانیکی در جوشکاری مقاومتی نقطه‌ای ورق‌های فولاد TRIP1100 به شکل تجربی موردن بررسی قرار گرفت. توزیع دما و سیکل‌های گرمایش و سرمایش حین جوشکاری به روشن المان محدود شبیه‌سازی

- sheets.", Metall Mater Trans A, vol. 46, pp. 4095–4105, 2010.
- [۱۷] X. Wan, Y. Wang & P. Zhang, "Modelling the effect of welding current on resistance spot welding of DP_{۶۰۰} steel", J. Mater. Proc. Technol., vol. 214, pp. 2723–2729, 2014.
- [۱۸] A. W. S. D^{A. M}, "Test methods for evaluating the resistance spot welding behavior of automotive sheet steel materials", American Welding Society, 2012.
- [۱۹] H. Eisazadeh, M. Hamed & A. Halvaei, "New parametric study of nugget size in resistance spot welding process using finite element method", Mater. Des., vol. 31, pp. 149–157, 2010.
- [۲۰] Handbook Committee, ASM Handbook, volume 7: Welding, brazing, and soldering, ASM International, 1993.
- [۲۱] A. R. Darvazi & M. Iranmanesh, "Thermal modeling of friction stir welding of stainless steel 304L", Int J Adv Manuf Technol, vol. 70, pp. 1299–1307, 2014.
- [۲۲] M. Iranmanesh & A. R. Darvazi, "Analytical and numerical simulation of temperature field and residual stresses of butt weld in steel plates used in ship manufacturing", Asian J Appl Sci, vol. 1, pp. 71–78, 2008.
- [۲۳] H. Sadiq, M. B. Wong, J. Tashan, R. Al-Mahaidi & X. L. Zhao, "Determination of steel emissivity for the temperature prediction of structural steel members in fire", Journal of Materials in Civil Engineering, vol. 20, pp. 167–173, 2013.
- [۲۴] M. Marya & X. Q. Gayden, "Development of requirements for resistance spot welding dual-phase (DP_{۶۰۰}) steels part 1—the causes of interfacial fracture", Weld J, vol. 84, pp. 172–182, 2005.
- [۲۵] H. Zhang, X. Qiu, Y. Bai, F. Xing, H. Yu & Y. Shi, "Resistance spot welding macro characteristics of the dissimilar thickness dual phase steels", Mater. Des., vol. 63, pp. 151–158, 2014.
- [۲۶] V. H. Baltazar Hernandez, M. L. Kuntz, M. I. Khan & Y. Zhou, "Influence of microstructure and weld size on the mechanical behaviour of dissimilar ahss resistance spot welds", Sci Technol Weld J, vol. 13, pp. 769–776, 2008.
- [۲۷] A. Ramazani, K. Mukherjee, A. Abdurakhmanov, M. Abbasi & U. Prah, "Characterization of microstructure and mechanical [۲۸] M. I. Khan, M. L. Kuntz, E. Biro & Y. Zhou, "Microstructure and mechanical properties of resistance spot welded advanced high strength steels", Mater. Trans. vol. 49, pp. 1629–1633, 2008.
- [۲۹] H. Zhang, A. Wei, X. Qiu & J. Chen, "Microstructure and mechanical properties of resistance spot welded dissimilar thickness DP_{۷۰۰}/DP_{۶۰۰} dual-phase steel joints", Mater. Des. vol. 54, pp. 443–449, 2014.
- [۳۰] V. H. Baltazar Hernandez, Y. Okita & Y. Zhou, "Second pulse current in resistance spot welded trip steel - effects on the microstructure and mechanical behavior", Welding Journal, vol. 91, pp. 278–280, 2012.
- [۳۱] S. Sajjadi-Nikoo, M. Pouranvari, A. Abedi & A. A. Ghaderi, "In situ postweld heat treatment of transformation induced plasticity steel resistance spot welds", Sci. Technol. Weld. Join. vol. 22, pp. 71–78, 2018.
- [۳۲] P. Eftekharimilani, E. M. Van Der Aa, M. J. M. Hermans & I. M. Richardson, "Microstructural characterisation of double pulse resistance spot welded advanced high strength steel", Sci. Technol. Weld. Join. vol. 22, pp. 545–554, 2017.
- [۳۳] A. D. Kraus & A. B. Cohen, "Thermal analysis and control of electronic equipment", McGraw-Hill, New York (NY), 1983.
- [۳۴] S. Aslanlar, A. Ogur, U. Ozsarac, E. Ilhan & Z. Demir, "Effect of welding current on mechanical properties of galvanized chromided steel sheets in electrical resistance spot welding", Mater. Des. vol. 28, pp. 2–7, 2007.
- [۳۵] M. Pouranvari & S. P. H. Marashi, "On failure mode of resistance spotwelded DP_{۹۸۰} advanced high strength steel", Can. Metall. Q. vol. 51, pp. 447–450, 2012.
- [۳۶] M. Vigneshkumar, P. A. Varthanhan & Y. M. A. Raj, "Finite element-based parametric studies of nugget diameter and temperature distribution in the resistance spot welding of aisi 304 and aisi 316L sheets", Trans Indian Inst Met, vol. 72, pp. 429–438, 2019.
- [۳۷] W. Zhang, D. Sun, L. Han & Y. Li, "Optimised design of electrode morphology for novel dissimilar resistance spot welding of aluminium alloy and galvanised high strength steel", Mater. Des., vol. 80, pp. 461–470, 2015.
- [۳۸] H. R. Rezaei Ashtiani & R. Zarandooz, "The influence of welding parameters on the nugget formation of resistance spot welding of inconel 625

۶- پی‌نوشت

[۱] Transformation Induced Plasticity

[۲] Khan et al

[۳] Zhang et al

[۴] Baltazar Hernandez et al

[۵] Aslanlar et al

[۶] Scanning Electron Microscopy

[۷] Shear-Tension

[۸] Marya & Gayden

properties of resistance spot welded DP₆₀₀ steel", Metals, vol. ۵, pp. ۱۷۰۴-۱۷۱۶, ۲۰۱۵.

[۹] M. Pouranvari & S. P. H. Marashi, "Failure mode transition in AHSS resistance spot welds. Part I. Controlling factors", Mater. Sci. Eng. A, vol. ۵۲۸, pp. ۸۳۳۷-۸۳۴۳, ۲۰۱۱.

[۱۰] S. Zhang, "Stress intensities at spot welds", Int. J. Fract., vol. ۸۸, pp. ۱۶۷-۱۸۵, ۱۹۷۷.

[۱۱] M. Pouranvari, S. M. Mousavizadeh, S. P. H. Marashi, M. Goodarzi & M. Ghorbani, "Influence of fusion zone size and failure mode on mechanical performance of dissimilar resistance spot welds of AISI ۱۰۰۸ low carbon steel and DP₆₀₀ advanced high strength steel", Mater. Des., vol. ۳۲, pp. ۱۳۹۰-۱۳۹۸, ۲۰۱۱.